

## II-30 中間流に関する実験的研究

京都大学工学部 正員 工修。高橋誠一

運輸省港湾技術研究所 正員 工修 廣本文泰

株式会社同組 正員 次野寛治

筆者らは二数年来他と共同して、山地の出水過程に及ぼす中間流の役割について検討し、その重要性を指摘してきた。最近のDreibelbisによる活性層の観察は、筆者らが中間流の生起場として想定してきたA層の存在を実証したもうひとつの例である。本報では、中間流の内部構造を中心として実験的に検討し、二、三の特性を明らかにしたもう一つである。

1 定常中間流；中間流（A層内側を流れ）がDarcy則に従うとしたとき、一定の過剰降雨との併結をうけて底層に下る。たゞこのA層内飽和水深 $H$ は

$$dH/dx = (\sin \theta \cdot H - Nx) / \cos \theta \cdot H \quad (1)$$

である。ここで、 $x$ は斜面工流端からの距離、 $\theta$ はA層底の傾斜角、 $N = Re/R$ 、 $Re = R - i$  ( $R$ : 降雨強度、 $i$ : A層底下部への浸透能) は過剰降雨強度、 $R$ はA層の透水係数である。図-1は、A層と中間流を模型的に示したもので、 $D$ はA層厚（通常 20~30 cm）である。

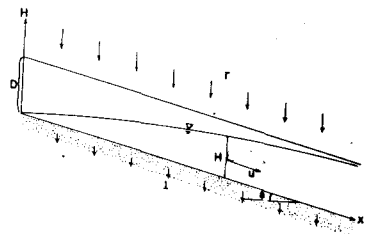


図-1

$x=0$  の厚さが特異点であることが、 $\cos \theta \neq 1$  とすれば、(1)式の特性方程式より、 $\beta = \sin \theta / 2\sqrt{N}$  はすこひつり特異点が現れる。すなはち、

$\beta > 1$  ; 結節点、 $0 < \beta < 1$  ; 潟状点である。

$\beta > 1$  ; 厚さに下りる水深 = 配分 $(dH/dx)_c$  に確定し、 $(dH/dx)_c = 2N/\sin \theta (1 + \sqrt{1 - 1/\beta^2})$  である。また、二の場合の水深形状は、厚さ附近を除く、近似的に  $H_1 = Nx/\sin \theta$  である。

$0 < \beta < 1$  ; 厚さ附近の飽和水深は、底層状態に近づくにつれて反時計回りに巻きこむ、厚さに下りる水深 = 配分確定しない。また、水深形状は、 $H \propto \sqrt{x}$  に近い、 $H_1$  より大きい。

2 非定常中間流；中間流の一般基礎方程式

$$\gamma \partial H / \partial t = \gamma \partial (H \partial H / \partial x) / \partial x - \gamma \sin \theta \cdot \partial H / \partial x + Re \quad (2)$$

である。ここで、 $t$  は時間、 $\gamma$  は有効空隙率である。 $H$  の時間変化も  $\beta = 1$  、 $t$  対して、 $\beta > 1$  のときは、(2)式右辺第2項の輸送項が第1項の拡散項よりも著しく大きいことを指摘している。第一近似解 $H_1$ は、特性曲線  $dX/dt = f$  上で、 $H_1 = \int_t^t f(\alpha) d\alpha / \gamma$  である。 $f = \gamma \sin \theta / \gamma$ 、 $t$  は特性曲線の出現時刻である。また、二の場合には、拡散項を考慮した第一近似解を得る <sup>1)</sup>。 $0 < \beta < 1$  のときは、 $H$  の時間変化は下記のようであるが、厚さ附近の水深は $H_1$  よりかなり大きいと予想される。

3 実験結果による考察；実験的別種降雨の下での水流の実験的研究に述べた小路は、粒径 2.5~4.5 mm の砂を厚さ 15 cm で敷いたものである。また、 $\sin \theta = 1/10, 1/20, 1/50$  、 $g = 1$  とし、降雨強度 $R$ は各々  $10, 20, 40$  cm/hr の範囲で種々変えて、飽和水深は、小路底に開墾小石計 5 口を小路長方向に配置して測定した。また、小路上流端より、一定流量を流して透水係数を求めて、 $\beta = 3$ 、 $= 1/10, 1/20, 1/50$  に対する $10, 20, 40$  cm

$5.78 \text{ cm/sec}$  となり、本実験例ではほぼ Darcy 则が成立する。

中間流鉱和水深測定結果の一例を図-2～図-5に示す。図-2と図-3は、 $\alpha$  小さく  $\beta > 1$  の場合 ( $0 < \beta < 1$ ) に対応する鉱和水深の上昇の測定結果であり、時間  $T$  降雨開始時刻を原点としている。○印は定岸時の鉱和水深を示し、○印は水路に細孔をつけて直接測定した定岸時鉱和水深である。間隙水圧計は  $T = 3$  時間経過後では一致している。 $\beta > 1$  の場合、定常鉱和水深  $H_1$  は  $T < 1$  一致し、下記線形鉱和水深上昇式が一近似解、実線は  $T = 5 \sim 8 \text{ min}$  に対する近似解を示すが、二七実験結果とも合っている。 $0 < \beta < 1$  の場合の定岸鉱和水深は、 $H_1$  と一致しない場合がある。図-4と図-5は、 $\alpha$  小さく  $\beta > 1$  の場合 ( $0 < \beta < 1$ ) 対応する降雨停止後の鉱和水深への減状態を示し、時間  $T$  降雨停止時刻を原点としている。 $\beta > 1$  の場合は  $T = 1$  の一近似解がほぼ成立するが、この減状態は  $dH/dx = N/\sin\theta$  で表されることができ、実験結果もこの関係とよく一致している。 $0 < \beta < 1$  の場合は  $T = 1$  上昇部と同様に、鉱和水深のこの減状態は解析的に示されず、今後検討する必要がある。以下、図-5を実線にて中間鉱和水深の欠陥を示す。

以上の考察を実山地の出水現象と結びつけよう、つきのようになる。①中間流の挙動は  $\beta \geq 1$  の大別となる。②  $\beta > 1$  の場合、鉱和水深が A 層肩面に達し、表面流が生じるときには生起端の時間変化は大きく、出水解析は生起端の変化を十分考慮しなければならない。③  $0 < \beta < 1$  の場合、表面流が生じ、かつ表面流生起の全期間  $0 < \beta < 1$  のときは、表面流生起端の時間変化は小である。④降雨条件となく、山腹の傾斜の大小に応じて表面流生起端の大さきは逆である。二ケニシテ、山腹の傾斜は大出水のせん急の一義的につながり、表面流の

流出構造と中間流の起因との生起端変化の両層を考慮しなければならぬことを意味する。

文献：1) 高橋利馬；出水現象の生起端とその変化過程、京大防災研年報、第6号、昭37.3

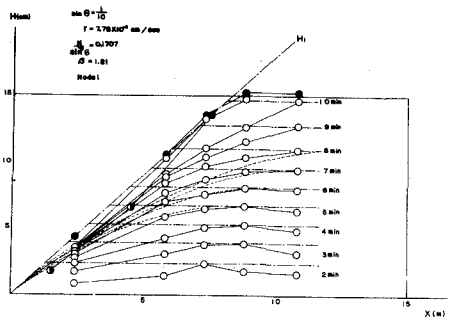


図-2

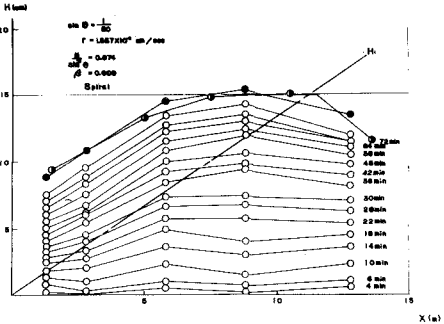


図-3

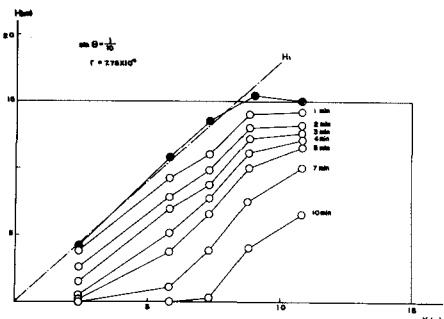


図-4

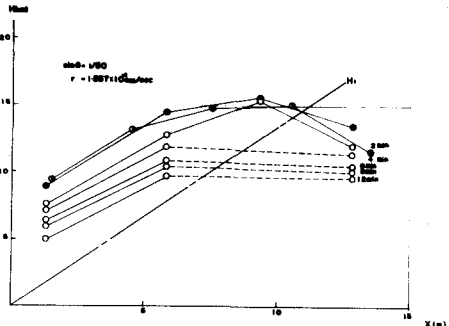


図-5